

Модели согласования скрытого пространства в задаче корреляционного анализа

Роберт Сафиуллин

Научный руководитель:
д.ф.-м.н. В. В. Стрижов

Московский физико-технический институт
Факультет управления и прикладной математики
Кафедра «Интеллектуальные системы»

Москва, 2023

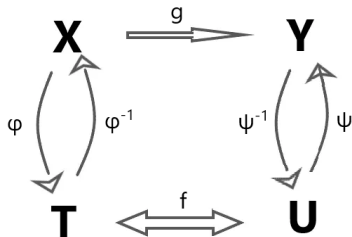
Задача декодирования временного ряда

Цель

Рассматривается система, описываемая аттракторами в нескольких фазовых пространствах. Требуется исследовать зависимости объектов в различных фазовых пространствах динамической системы и построить устойчивую модель декодирования временных рядов между ними

Задача

Строятся частные модели, аппроксимирующие измерения состояния системы в каждом пространстве. Строится согласующая мультимодель. Уточняются параметры частных моделей. Для учёта зависимостей в пространствах объектов и ответов предлагается снизить размерность исходного пространства



$\mathbf{X} = \{x_i\}_{i=1}^N$ - заданные временные ряды, $\mathbf{Y} = \{y_i\}_{i=1}^N$ - целевые временные ряды

$$\mathbf{g} = \psi \circ \mathbf{f} \circ \phi$$

Частные модели

$$\phi : \mathbf{R}^N \rightarrow \mathbf{R}^m$$

$$\psi : \mathbf{R}^m \rightarrow \mathbf{R}^N$$

Модель согласования

$$\mathbf{f} : \mathbf{R}^m \rightarrow \mathbf{R}^m$$

Многослойный перцептрон

$$\mathbf{f}(x)^{[N]} = \mathbf{a}^{[N]}(W^{[N]}(\mathbf{a}^{[N-1]}(W^{[N-1]}(\dots \mathbf{a}^{[1]}(W^{[1]}x + b^{[1]}) \dots) + b^{[N-1]}) + b^{[N]})$$

$$a = \max(0, x)$$

Для каждого слоя N , пара $(W^{[N]}, b^{[N]})$ является параметрами этого слоя, а $\mathbf{a}^{[N]}$ - функцией активации.

Метод частных наименьших квадратов (PLS)

$$\begin{aligned} \mathbf{X}_{m \times n} &= \mathbf{T}_{m \times l} \cdot \mathbf{P}_{l \times n}^T + \mathbf{F}_{m \times n} = \sum_{k=1}^l \mathbf{t}_k \cdot \mathbf{p}_k^T + \mathbf{F}, \\ \mathbf{Y}_{m \times r} &= \mathbf{U}_{m \times l} \cdot \mathbf{Q}_{l \times r}^T + \mathbf{E}_{m \times r} = \sum_{k=1}^l \mathbf{u}_k \cdot \mathbf{q}_k^T + \mathbf{E}. \end{aligned}$$

Кодировщик имеет функцию активации ϕ и матрицу весов $\mathbf{W} \in \mathbb{R}^{m \times n}$. Тогда сжатое представление можно выразить следующим образом:

$$\hat{\mathbf{h}} = \phi(\mathbf{W}\mathbf{h} + \mathbf{b})$$

Декодировщик с функцией активации ψ и матрицей весов $\mathbf{V} \in \mathbb{R}^{n \times m}$, восстановленный вектор признаков $\hat{\mathbf{x}} \in \mathbb{R}^n$ может быть определен следующим образом:

$$\hat{\mathbf{x}} = \psi(\mathbf{V}\mathbf{x} + \mathbf{c})$$

где $\mathbf{b}, \mathbf{c} \in \mathbb{R}^n$ - вектор смещения.

Функцией потерь является среднеквадратичная ошибка (MSE):

$$\text{MSE}(\mathbf{x}, \hat{\mathbf{x}}) = \frac{1}{n} \sum_{i=1}^n (x_i - \hat{x}_i)^2.$$

Симметрично положительно определенные (СПО) матрицы формируют дифференцируемое многообразие \mathbf{M} . Касательное пространство к этому многообразию в точке \mathbf{C} обозначим $\tau\mathbf{C}\mathbf{M}$.

Риманово расстояние между двумя СПО матрицами:

$$\delta_R(\mathbf{C}_1, \mathbf{C}_2) = \|\log_m(\mathbf{C}_1^{-1}\mathbf{C}_2)\|_F = (\sum_{i=1}^n \log^2 \lambda_i)^{1/2},$$

где $\lambda_1, \dots, \lambda_n$ - положительные собственные значения матрицы $\mathbf{C}_1^{-1}\mathbf{C}_2$.

Для набора ковариационных матриц фрагментов временных рядов $\{\mathbf{C}_i\}_{i=1}^N$, $\mathbf{C}_i = \frac{\mathbf{x}_i \mathbf{x}_i^T}{\text{size}(\mathbf{x}_i)}$ рассчитывается риманово среднее \mathbf{C}

Операция проецирования матрицы \mathbf{C}_i на $\tau\mathbf{C}\mathbf{M}$:

$$\mathbf{S}_i = \text{Log}_{\mathbf{C}}(\mathbf{C}_i) = \mathbf{C}^{1/2} \log_m(\mathbf{C}^{-1/2} \mathbf{C}_i \mathbf{C}^{-1/2}) \mathbf{C}^{1/2}.$$

$$\mathbf{C} = \arg \min_{\mathbf{C}} \sum_i \delta_R(\mathbf{C}, \mathbf{C}_i)^2$$

Новые признаки

$$\text{vec}(\mathbf{S}) = [\mathbf{S}_{1,1}; \sqrt{\mathbf{S}_{1,2}}; \mathbf{S}_{2,2}; \sqrt{2}\mathbf{S}_{1,3}; \sqrt{2}\mathbf{S}_{1,3}; \mathbf{S}_{3,3}]$$

QPFS

Метод выбора признаков, основанный на поиске вектора значимостей признаков \mathbf{z}

$$\underbrace{\mathbf{z}^T \mathbf{Q} \mathbf{z}}_{\text{Sim}} - \alpha \cdot \underbrace{\mathbf{b}^T \mathbf{z}}_{\text{Rel}} \rightarrow \min_{\substack{\mathbf{z} \in R_+^N \\ \|\mathbf{z}\|_1 = 1}}$$

$$\mathbf{b} = \left[\sum_{k=1}^r |\text{corr}(\chi_i, \nu_k)| \right]_{i=1}^N.$$

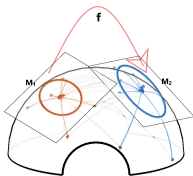
где $\mathbf{Q} \in R^{N \times N}$ - матрица коэффициентов попарного сходства между признаками, $\mathbf{b} \in R^N$ - вектор релевантности признака к целевой переменной

Теорема 1

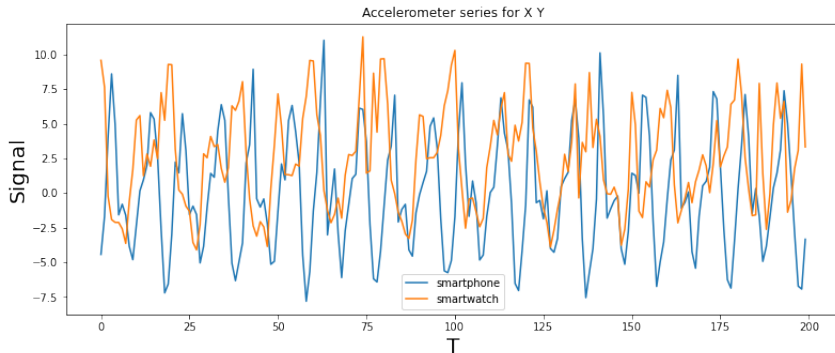
Имеется система, описываемая аттракторами в двух фазовых пространствах M_1 и M_2 . Пусть $\{x_i\}_{i=1}^n$ и $\{y_i\}_{i=1}^n$ обозначают измерения состояния системы в M_1 и M_2 соответственно. Пусть $\phi_\theta : \mathbb{R}^d \rightarrow M_1$ и $\psi_\omega : \mathbb{R}^d \rightarrow M_2$ являются двумя автокодировщиками, аппроксимирующими измерения в каждом пространстве. Пусть также $f_\gamma : \mathbb{R}^d \rightarrow \mathbb{R}^d$ является согласующей мультимodelью, строящей связь между скрытыми представлениями двух пространств, где γ обозначает ее параметры. Если параметры θ , ω и γ обновляются с использованием подходящего алгоритма оптимизации, то они будут сходиться к некоторым оптимальным значениям, при которых функции ϕ_θ , ψ_ω и f_γ будут обратимыми и непрерывными, и они позволят восстановить изначальные временные ряды из одного фазового пространства в другом.

Теорема 2

Пусть \mathbf{M}_1 и \mathbf{M}_2 - два римановых многообразия, представляющие фазовые пространства динамической системы, и пусть $\epsilon > 0$ - заданная точность аппроксимации. Мы предполагаем, что существует изометрическая функция перехода $\mathbf{T} : \mathbf{M}_1 \rightarrow \mathbf{M}_2$, такая что функция сохраняет риманову метрику и может быть аппроксимирована нейронной сетью \mathbf{f} с точностью ϵ , достигая взаимно однозначного преобразования между фазовыми пространствами.



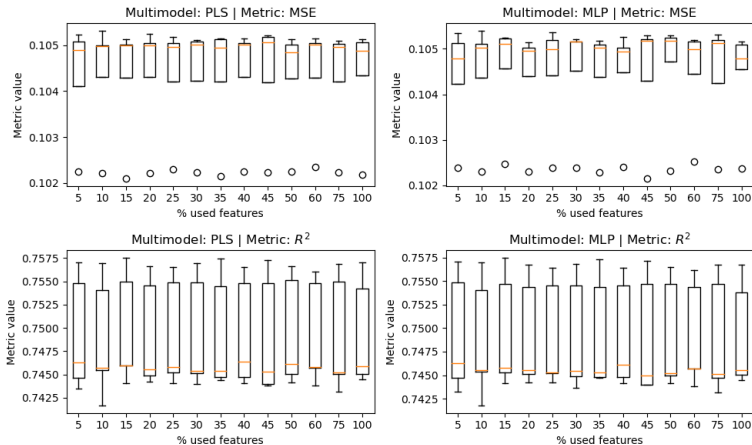
Данные: Smartphone and Smartwatch Activity and Biometrics Dataset



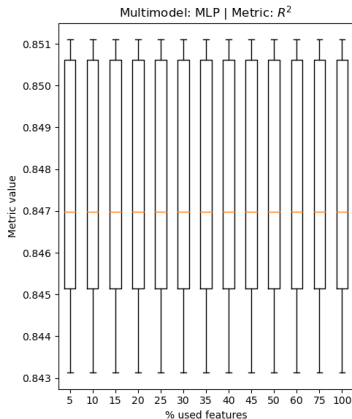
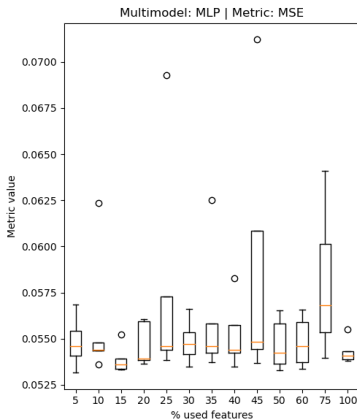
1

¹Gary M. Weiss, Kenichi Yoneda, and Thaier Hayajneh. Smartphone and Smartwatch-Based Biometrics Using Activities of Daily Living. IEEE Access, 7:133190-133202, Sept. 2019.

Скрытое представление автокодировщика



Проецирование на многообразие



- Предложен и теоретически обоснован метод восстановления временных рядов
- Выполнен численный эксперимент для проверки качества метода
- Показано, что предложенный метод слабо зависит от числа использованных признаков